

~~БЧУ53~~
б-323

21/VII. 69

ПТЭ, 1970, №2, с. 43-47

P13 - 4453

И.Бачо, Д.Д.Богданов, Ш.Дароци, В.А.Карнаухов,
Л.А.Петров, Г.М.Тер-Акопьян

ГАЗОНАПОЛНЕННЫЙ МАСС-СЕПАРАТОР
ДЛЯ ИЗУЧЕНИЯ ПРОДУКТОВ РЕАКЦИЙ
С ТЯЖЕЛЫМИ ИОНАМИ

P13 - 4453

И.Бачо, Д.Д.Богданов, Ш.Дароци, В.А.Карнаухов,
Л.А.Петров, Г.М.Тер-Акопьян

ГАЗОНАПОЛНЕННЫЙ МАСС-СЕПАРАТОР
ДЛЯ ИЗУЧЕНИЯ ПРОДУКТОВ РЕАКЦИЙ
С ТЯЖЕЛЫМИ ИОНАМИ

4886/2 np.

1. Введение

Принцип газонаполненного масс-сепаратора был предложен в 1957 году Б. Коэном и К. Фулмером, которые, исследовав основные особенности прибора, использовали его для измерения ширины зарядового распределения осколков деления /1,2/. Позднее газонаполненный сепаратор был построен П. Армбрустлером /3/ и применялся в экспериментах по определению среднего первичного заряда осколков деления ^{235}U тепловыми нейтронами /4/. Затем П. Армбрустлер с сотрудниками использовали этот прибор для исследования излучателей запаздывающих нейтронов /5/ и других относительно короткоживущих осколков деления /6/.

Газонаполненный сепаратор имеет умеренное разрешение для осколков деления (около 3 и 5% по N_p для легких и тяжелых осколков соответственно), однако его неоспоримым преимуществом является быстродействие, которое определяется временем пролета иона через систему (10^{-6} сек).

В настоящей работе описывается газонаполненный масс-сепаратор (в дальнейшем – БЭМС ^{x)}), предназначенный для быстрого прямого разделения короткоживущих ядер – продуктов реакций, вызываемых многозарядными ионами. Этот прибор построен в Лаборатории ядерных реакций и установлен на пучке циклотрона У-300.

^{x)} БЭМС – быстрый электромагнитный сепаратор.

2. Принцип действия газонаполненного масс-сепаратора

Представим себе, что в месте источника некоторой магнитной фокусирующей системы расположена мишень, облучаемая заряженными частицами. Продукты ядерных реакций за счет импульса, передаваемого бомбардирующей частицей, вылетают из мишени в виде ионов со средним зарядом, зависящим от скорости. Полуширина распределения по ионному заряду оказывается весьма значительной ($\approx 50\%$) /7/. Если мишень имеет конечную толщину, то и разброс по скорости также велик. Таким частицам отвечает широкий диапазон значений $H\rho$. После прохождения магнитной фокусирующей системы они будут рассеяны практически по всей фокальной плоскости. Картина становится совершенно иной, если магнитная система заполняется газом при небольшом давлении.

Рассмотрим сначала движение частицы с постоянной скоростью. За счет процессов потери и подхвата электрона во время соударений с молекулами газа заряд иона непрерывно меняется, флюкутируя около равновесного значения e_0 . В результате ион будет двигаться по траектории, которая определяется усредненным по пути в магнитном поле зарядом \bar{e} . Ясно, что среднее по всем частицам значение этого заряда совпадает с равновесным: $\bar{e} = e_0$. Пусть распределение заряда ионов, движущихся в газе, имеет Гауссову форму с максимумом при равновесном заряде и полушириной Δe_0 . Из статистики следует, что усредненный по "N" перезарядным соударением заряд также будет иметь нормальное распределение с полушириной

$$\frac{\Delta e}{\bar{e}} = \frac{1}{k\sqrt{N}} \frac{\Delta e_0}{e_0} = \text{const} \frac{\Delta e_0}{e_0} \frac{1}{\sqrt{p}}, \quad (1)$$

где $N = \sigma N_a$, σ - сечение перезарядки, N_a - число молекул на пути частицы в магнитном поле, p - давление газа. Фактор "k" - меньше единицы. Он был бы равен единице, если бы после каждого соударения реализовалось равновесное распределение заряда. Таким образом, процесс многократной перезарядки приводит к эффективной фокусировке по заряду. Статистические флюктуации в этом процессе являются одним из главных факторов, определяющих разрешение газонаполненного сепаратора.

Эту компоненту разрешения можно записать следующим образом:

$$\left(\frac{\Delta H\rho}{H\rho} \right)_{st} \approx \frac{\Delta e}{\bar{e}} \approx \frac{1}{\sqrt{p}} \frac{\Delta e_0}{e_0}. \quad (2)$$

Рассмотрим теперь, к чему приведет начальная дисперсия ионов по энергии. Для иона со скоростью v , согласно Бору и Линдхарду /8/, равновесный заряд равен

$$e_0 = Z^{1/3} \frac{v}{v_0}, \quad (3)$$

где Z - заряд ядра, v_0 - скорость электрона в атоме водорода. Для такой частицы магнитная жесткость равна

$$H\rho = \frac{M v c}{e_0} = e v_0 \frac{M}{Z^{1/3}}. \quad (4)$$

Таким образом, если (3) справедливо, то $H\rho$ равновесной частицы определяется только массой и зарядом ядра. Это означает, что начальный разброс скорости не должен приводить к дополнительному разбросу $H\rho$ при движении в газонаполненном сепараторе.

Важным фактором, влияющим на разрешение, является многократное рассеяние ионов на молекулах газа наполнителя. Среднеквадратичный угол отклонения при прохождении частицей (Z_1, M_1) с энергией E слоя газа (Z_2, M_2) толщиной d равен:

$$\overline{\alpha^2} = \text{const} p \left(\frac{Z_1 Z_2}{E} \right)^2 \left(2 \ln \frac{EM_2}{M_1 Z_1 Z_2^{4/3}} - 1 \right) d.$$

Многократное рассеяние приведет к размытию изображения в фокальной плоскости. Этой компоненте отвечает

$$\left(\frac{\Delta H\rho}{H\rho} \right)_{m.s.} \approx \frac{2}{\sqrt{3} D} (L_1^2 \beta^2 \overline{\alpha^2} (L_1) + L_2^2 \overline{\alpha^2} (L_2))^{1/2}, \quad (5)$$

где L_1 - расстояние от мишени до средней точки магнитной траектории, L_2 - расстояние от этой точки до фокуса, β - коэффициент горизонталь-

ногого увеличения, $\alpha(L_1)$ и $\alpha(L_2)$ - углы многократного рассеяния после прохождения расстояний L_1 и L_2 , D - дисперсия системы^{x)}. Помимо статистики перезарядок и многократного рассеяния на разрешение БЭМС будут также влиять параметры магнитно-оптической системы (стабильность магнитного поля, аберрации, конечные размеры источника). Однако процессы, происходящие при движении иона через газ, являются определяющими.

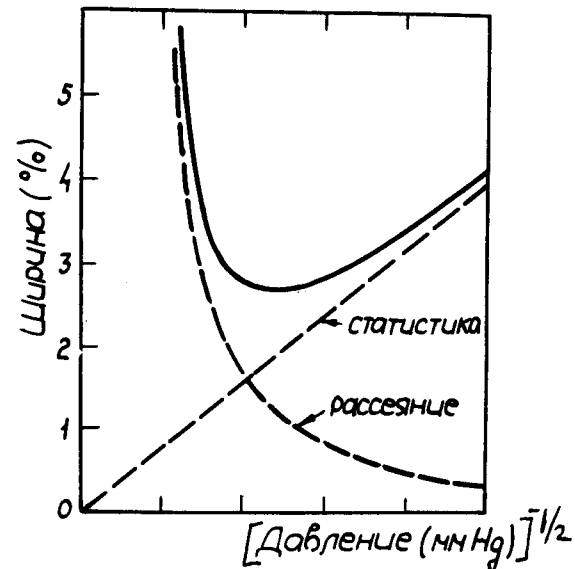


Рис.1. Расчетная зависимость разрешения $\frac{\Delta H_p}{H_p}$ газонаполненного сепаратора от давления гелия /2/.

На рис. 1, взятом из /2/, приведена расчетная зависимость разрешения $\frac{\Delta H_p}{H_p}$ от давления. Расчет сделан для некоторой конкретной системы, причем газ-наполнитель (гелий) находится только в области магнитного поля. Отдельно показано, как ведут себя главные компоненты разрешения. Поскольку они имеют противоположные зависимости от давления, суммарное разрешение имеет минимум при некотором давлении.

^{x)} Соотношение (5) получено аналогично тому, как это сделано в работе /3/ для симметричной магнитной системы.

Положение минимума, а также оптимальное разрешение определяются энергией, массой иона, сортом газа, геометрией магнитной системы. Что касается последнего обстоятельства, то ясно, что разрешение зависит от соотношения между длиной пути в магнитном поле и выходным плечом.

Свойства газонаполненного масс-сепаратора были подробно изучены Фулмером и Коэном /1-2/ и Армбрустером /3-4/ на осколках деления. В качестве наполнителей исследовались H_2 , He , воздух, Ar . Было показано, что лучшее разрешение получается с гелиевым наполнителем ($\approx 3\%$ для ^{97}Zr и $\approx 5\%$ для ^{181}I в работе /2/). Экспериментально изучена зависимость заряда от атомного номера иона, скорости, давления и сорта газа. Показано, что соотношение (1) справедливо только в качестве первого приближения. При анализе данных по среднему заряду в этих работах используется вместо (3) следующее выражение

$$e_0 = \gamma Z^n \left(\frac{v}{v_0} \right)^{1+x}. \quad (6)$$

Отсюда получается

$$H_p = \left(\frac{v}{v_0} \right)^{-x} \frac{M c v_0}{\gamma Z^n}. \quad (7)$$

Величина γ зависит от сорта и давления газа, а n и x - дополнительно от типа осколка. Фулмер и Коэн получили в случае ^{97}Zr и гелиевого наполнителя значения $x = 0,055$; $0,024$ и $0,017$ для давлений $5,8$, 10 торр соответственно. Зависимость x от давления обсуждается ниже. Для воздушного наполнителя тяжелой группы осколков Армбрустер /3/ получил $x = -0,24 \pm 0,1$. Отклонение от линейности в зависимости e_0 от v приводит к ухудшению разрешения при наличии дисперсии по скорости. Эта компонента разрешения равна

$$\left(\frac{\Delta H_p}{H_p} \right)_v = x \frac{\Delta v}{v}. \quad (8)$$

Таким образом, суммарное разрешение имеет вид:

$$\frac{\Delta H_p}{H_p} \approx \left[\left(\frac{\Delta H_p}{H_p} \right)_{\text{ст.}}^2 + \left(\frac{\Delta H_p}{H_p} \right)_{\text{м.с.}}^2 + \left(\frac{\Delta H_p}{H_p} \right)_v^2 \right]^{1/2}. \quad (9)$$

3. Магнитно-оптическая система БЭМС

Подробное описание магнитно-оптической системы БЭМС дано в /9/. Здесь мы только кратко перечислим основные характеристики. Прибор был изготовлен на базе типового магнита СП-57А. Общий вид его показан на рис. 2. Это секторный спектрометр с однородным полем с двойной фокусировкой. Вертикальная фокусировка осуществляется с помощью рассеянного поля на входной и выходной границах магнита. Для формирования спада поля на границах используются специальные магнитные экраны. Для обеспечения максимальной светосилы входная и выходная границы полюсных наконечников сделаны круговыми. В месте источника системы помещается мишень, облучаемая многозарядными ионами, выведенными из циклотрона У-300. Пучок попадает в вакуумную систему сепаратора через окно, уплотненное алюминиевой фольгой толщиной 5 мк. Расстояние между мишенью и входной границей - 122 см. Радиус основной частицы в магнитном поле - 80 см, угол поворота 60° . Для увеличения вертикального входного угла камера была изготовлена так, что магнитные полюса являются ее верхней и нижней крышками, таким образом, весь магнитный зазор (10 см) является рабочим. Вертикальный входной угол $\pm 20^{\circ}$, полная светосила - около $1,4 \cdot 10^{-2}$ стерад.

Основные измерения оптических свойств прибора были проведены с α -частицами ^{244}Cm (двухзарядными и однозарядными). Альфа-частицы регистрировались поверхностно-барьерным детектором, который совершал периодическое движение перпендикулярно оси выходного патрубка в районе фокальной плоскости (горизонтально, либо вертикально). Имелась специальная схема, которая позволяла записывать на многоканальном анализаторе зависимость числа отсчетов от координаты детектора /9/. В измерениях с α -частицами было получено, что коэффициент горизонтального увеличения - 0,78, вертикального - 2,7, дисперсия 18,5 мм/% H_p . Для калибровки сепаратора по H_p (зависимость H_p от тока в магните) использовались α -частицы и ионы (^{12}C , ^{20}Ne , ^{40}Ar) с различными зарядами и энергиями.

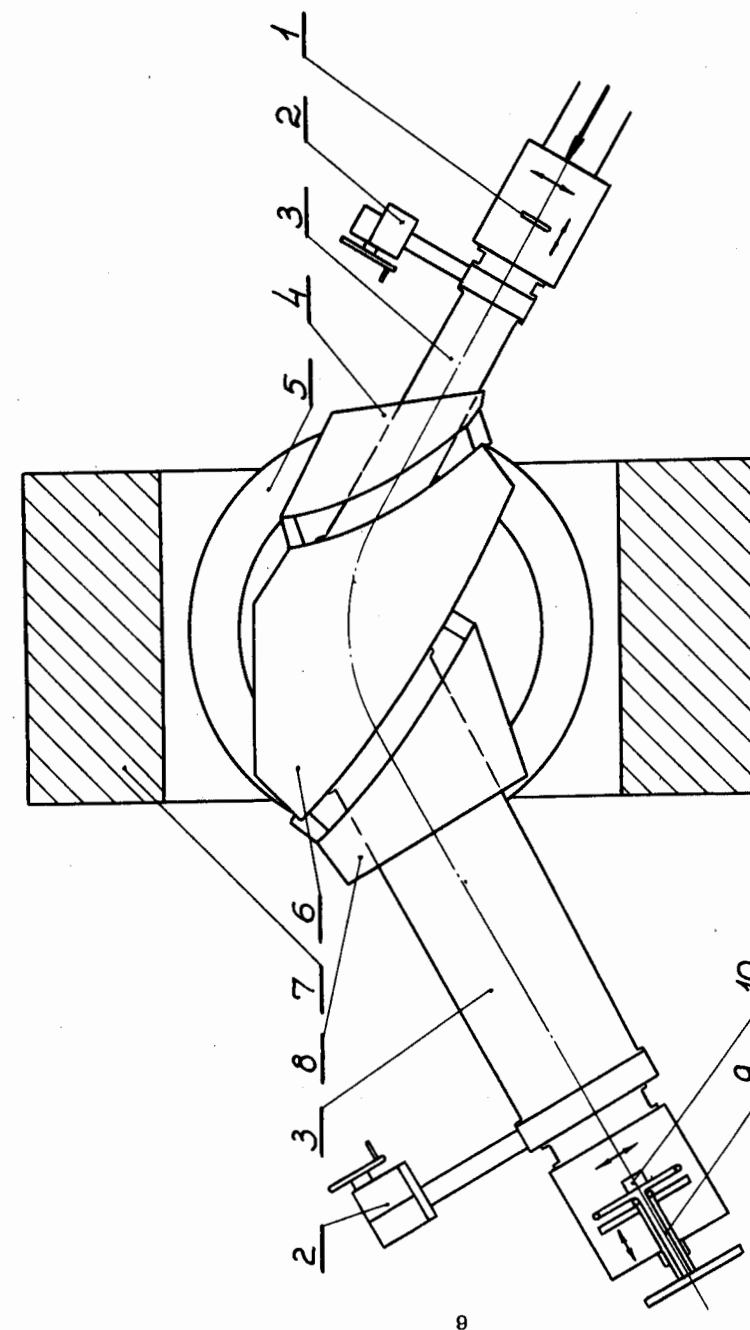


Рис.2. Общий вид БЭМС. 1 - мишень, 2 - шиберный затвор, 3 - патрубок, 4 - входной экран, 5 - выходной экран, 6 - катушка магнита, 7 - камера, 7 - магнит, 8 - выходной экран, 9 - сканирующее устройство, 10 - детектор заряженных частиц.

4. Характеристики газонаполненного сепаратора на пучке тяжелых ионов

4.1. Разрешение

Разрешение сепаратора ($\frac{\Delta H\rho}{H\rho}$) подробно изучалось с помощью радиоактивного изотопа ^{108}Ag , который получался при облучении ^{68}Zn (1,7 мг/см, размер 10×10 мм) ионами $^{40}\text{Ar}^{+8}$ с энергией около 185 мэв (реакции $^{68}\text{Zn}(^{40}\text{Ar}, p4n)^{108}\text{Ag}$ и $^{68}\text{Zn}(^{40}\text{Ar}, 5n)^{108}\text{Cd} \rightarrow {^{108}\text{Ag}}$). По оценке энергия ионов ^{108}Ag , вылетающих из мишени, распределена в диапазоне от ≈ 65 до 20 мэв (за счет торможения в мишени). Для собирания ^{108}Ag в фокальной плоскости сепаратора помещалась алюминиевая фольга. После экспозиции сборник разрезался на вертикальные полоски, которые обсчитывались на Ge-Li спектрометре. ^{108}Ag идентифицировалась по периоду полураспада (≈ 66 мин) и энергии γ -переходов. На рис.3 показано распределение ядер ^{108}Ag в фокальной плоскости после пересчета координаты в значение $H\rho$. При этом вакуумная система сепаратора была заполнена гелием при давлении, близком к оптимальному.

На рис. 4а показано разрешение по $H\rho$ для ^{108}Ag в функции давления гелия. Кривая имеет типичную форму, которая отражает влияние основных факторов, определяющих разрешение: статистики перезарядок и многократного рассеяния. Резкое ухудшение разрешения с ростом давления от оптимального значения вызвано многократным рассеянием. Зависимость от давления здесь более сильная, чем следует из (5). Это, очевидно, объясняется тем, что с увеличением давления снижается средняя энергия иона в сепараторе; это приводит к дополнительному увеличению a^2 . При снижении давления от оптимального значения разрешение также ухудшается в соответствии с уменьшением числа перезарядных соударений. При оптимальном давлении разрешение – 3–3,5%.

На рис. 4б приведены данные для воздушного заполнения. Наилучшее разрешение здесь около 5%. Величина оптимального давления примерно в 7 раз меньше, чем для гелия. Этот изменение вызвано, с одной стороны, увеличением сечения перезарядки, с другой – возрастанием среднего угла многократного рассеяния (при фиксированном давлении) при переходе к воздуху.

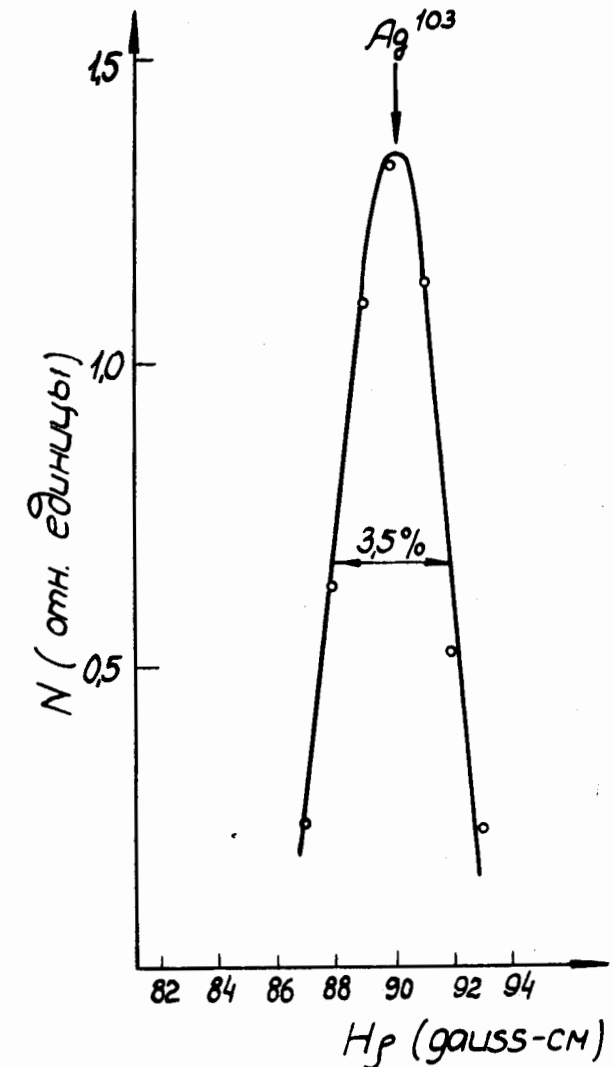


Рис.3. Распределение активности ^{108}Ag в фокальной плоскости БЭМС, заполнитель He, $p = 2,7$ торр.

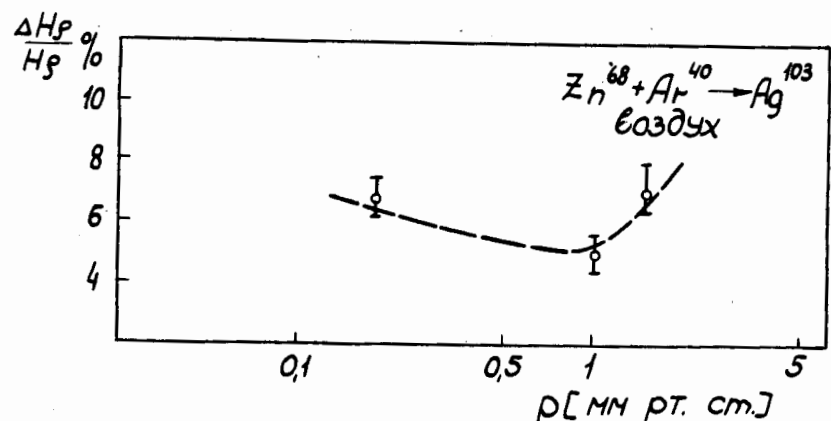
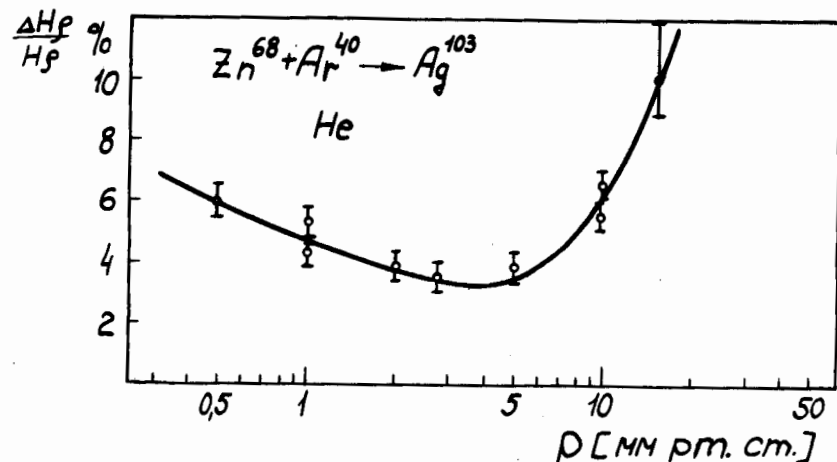


Рис.4. а) Разрешение сепаратора для ионов ^{103}Ag в функции давления гелиевого заполнения; б) то же для воздушного заполнения.

Были проделаны некоторые измерения с ионами ^{182}Xe . Этот изотоп ускорялся циклотроном в виде девятизарядного иона на третьей гармонике до энергии 150 мэв. После прохождения вакуумного окна сепаратора (5 мк Al) и золотого рассеивателя ($\approx 0,3 \text{ мкг}/\text{см}^2$) энергия ^{182}Xe снижалась до ≈ 50 мэв. Использовались два коллиматора: до рассеивателя пучок ограничивался по размеру до $1,5 \times 15$ мм (высота), после рассеивателя выделялся диапазон углов от 2 до 3° . В фокальной плоскости ионы ^{182}Xe регистрировались сканирующим устройством с поверхностью-барьерным детектором.

На рис. 5 приведена зависимость полуширины пучка ^{182}Xe по $H\rho$ от давления He. Разрешение в оптимуме $\approx 2,5\%$. Улучшение разрешения по сравнению с тем, что получено для ^{103}Ag , по-видимому, связано со следующими обстоятельствами: во-первых, на "мягкой" части спектра ^{103}Ag сильнее сказывается многократное рассеяние; во-вторых, практическая монохроматичность ^{182}Xe по скорости полностью исключает вклад в разрешение члена (8).

4.2. Эффективность

Полная эффективность БЭМС определялась как отношение активности, собранной на фокальной плоскости, к тому, что вылетало из мишени. В этих опытах вертикальный размер сборника был 80 мм. Ясно, что эффективность зависит не только от светосилы прибора, но и от углового распределения атомов отдачи. Известно, что продукты реакций полного слияния с тяжелыми ионами летят преимущественно в направлении пучка [10]. По нашим оценкам, в случае тонкой мишени ($\approx 0,2 \text{ мкг}/\text{см}^2$) во входной телесный угол сепаратора должно попадать около 25% образующихся ядер. Эта цифра является верхней границей эффективности.

На рис. 6а приведены результаты измерения эффективности БЭМСа для атомов отдачи ^{103}Ag в функции давления гелия для мишени толщиной $1,7 \text{ мкг}/\text{см}^2$. Кривая имеет плато в области малых давлений и спад для давлений, превышающих оптимальное. Этот спад вызван размытием "изображения" за счет многократного рассеяния и попаданием атомов отдачи на верхнюю и нижнюю стенки камеры и выходного патрубка. Ана-

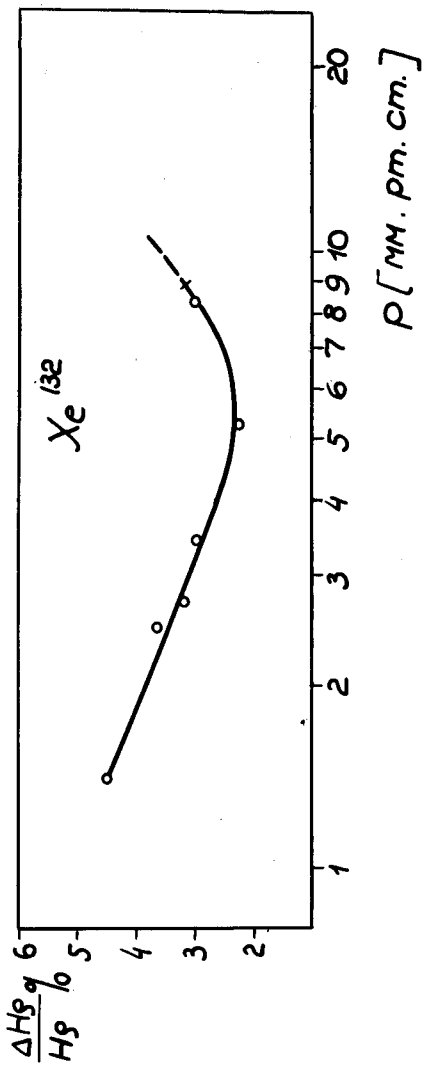


Рис.5. Разрешение сепаратора для ^{132}Xe (≈ 50 мэв) в функции давления Не.
Пучок ^{132}Xe коллимирован.

логичный вид имеет и зависимость эффективности от давления для воздушного заполнения (рис. 6б).

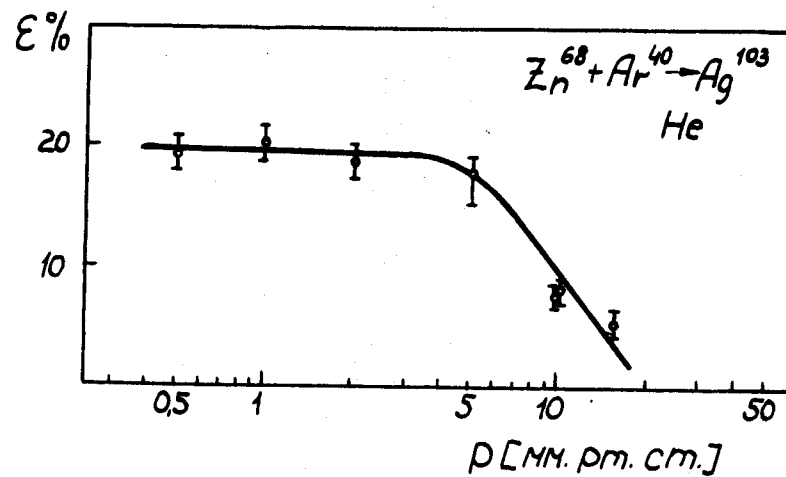
Была исследована также зависимость эффективности и разрешения от толщины мишени. Это важно для выбора оптимальной толщины мишени при исследовании продуктов реакций с малым выходом. Соответствующие результаты представлены на рис. 7 для ^{103}Ag (для гелиевого заполнителя при давлении 2,7 мм рт.ст.). С увеличением толщины эффективность падает из-за двух причин: во-первых, с увеличением толщины мишени угловое распределение уширяется (из-за рассеяния в мишени); во-вторых, атомы отдачи, выходящие из глубоких слоев мишени, имеют пониженную энергию и частично теряются за счет многократного рассеяния в газе. Оптимальная толщина мишени для реакций с аргоном (≈ 200 мэв) равна ≈ 2 мг/см².

Изменение разрешения с увеличением толщины может быть понято, если принять во внимание вклад члена (8) и учсть некоторое "обрезание" по скорости за счет поглощения атомов отдачи в газе и пониженную эффективность доведения до фокальной плоскости медленных ионов (из-за рассеяния).

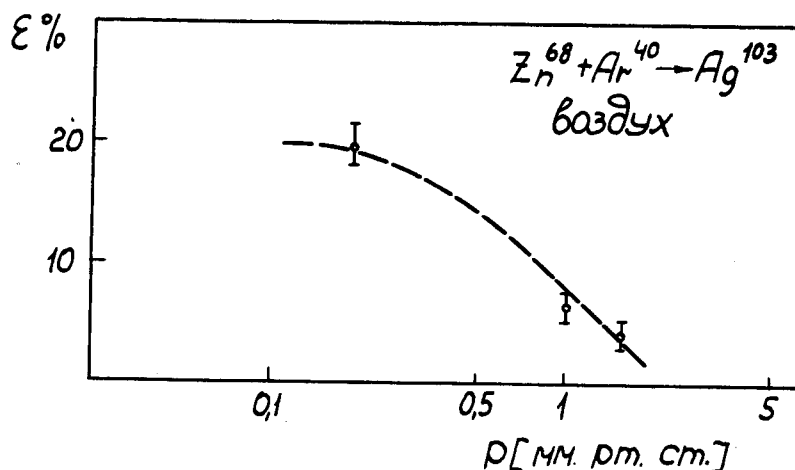
Нами оценивалась также эффективность сбора на фокальную плоскость α -активного изотопа ^{149}Tb , получившегося в реакции $\text{Cd} + ^{40}\text{Ar}$. Для случая воздушного заполнения получено $\epsilon = 5\text{--}6\%$. Понижение эффективности по сравнению с ^{103}Ag , по-видимому, связано с многократным рассеянием, которое здесь более существенно из-за меньшей средней энергии и большего Z ионов.

4.3. Зависимость равновесного заряда от скорости

Выше уже отмечалось, что имеется отклонение от линейности в зависимости равновесного заряда ионов от скорости. В работе ¹¹ предложено соотношение (6) для равновесного заряда. Нами были предприняты измерения для оценки величины x в практически важном для нас диапазоне давлений. Измерения проводились с пучком ^{84}Kr . Ионы $^{84}\text{Kr}^{+6}$ ускорялись в циклотроне до энергии ≈ 100 мэв. После прохождения вакуумного окна ионы рассеивались на тонкой золотой фольге и входили

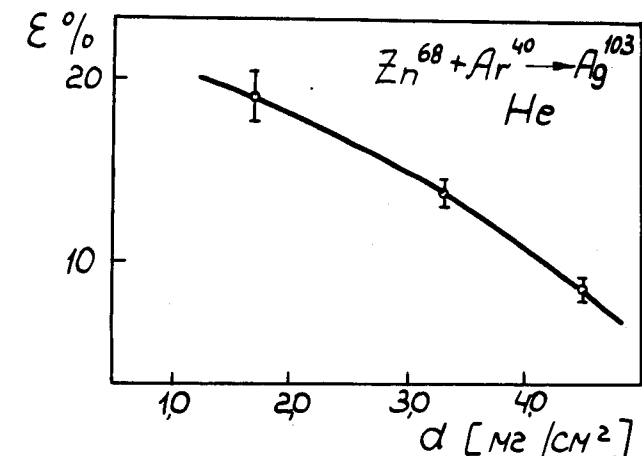


a)

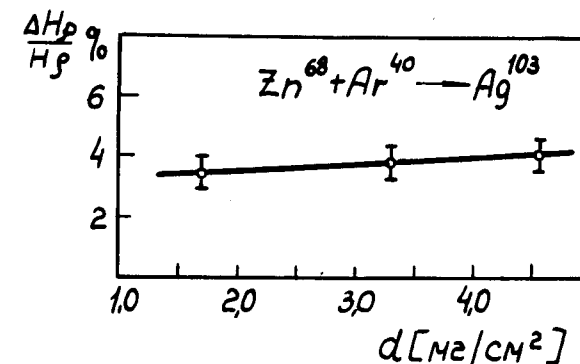


б)

Рис.8. а) Эффективность сепаратора для атомов отдачи ^{103}Ag в случае гелиевого заполнения в функции давления; б) то же для воздушного заполнения.



а)



б)

Рис.7. Влияние толщины на параметры БЭМС: а) зависимость эффективности от толщины мишени. Наполнитель He, $p = 2,5$ торр. б) Разрешение для ^{103}Ag , наполнитель He, $p = 2,5$ торр.

в сепаратор под углами $> 20^\circ$. На выходе они регистрировались сканирующим устройством с поверхностно-барьерным детектором. Определялись значения $H\rho$ для ионов с различной энергией. Для изменения энергии использовались поглотители из органической пленки. Величина 'x' находилась по соотношению, вытекающему из (7)

$$x = -2 \frac{\ln(H\rho_1) - \ln(H\rho_2)}{\ln(E_1/E_2)}.$$

В случае гелиевого заполнителя для $p = 5,4$ торр, $E_1 \approx 55$ мэв, $E_2 \approx 33$ мэв (в центре камеры) получено $x = 0,030 \pm 0,015$. Для давления 2,7 торр, $E_1 \approx 87$ мэв, $E_2 \approx 61$ мэв получено $x = 0,070 \pm 0,035$.

Для воздушного заполнения в случае $p = 0,35$ торр $E_1 \approx 61$ мэв, $E_2 \approx 39$ мэв получено $x = -0,037 \pm 0,019$. Для давления 0,7 торр и $E_1 \approx 85$ мэв, $E_2 \approx 37$ мэв оказалось $x = -0,075 \pm 0,038$. Таким образом, значения x для гелия и воздуха сравнимы, однако знаки и характер зависимости от давления противоположны.

Фулмер и Коэн /1/ предположили, что значение x в случае Не определяется эффектом давления в равновесном заряде. Он заключается в том, что с повышением давления средний заряд при данной скорости слегка растет. Эффект этот был обнаружен Лассеном /11/ при измерении равновесного заряда осколков и объяснен Бором и Линдхардом. Рост равновесного заряда с давлением связан с вкладом возбужденных состояний в процесс потери электронов. При малых давлениях время между соударениями больше времени высвечивания возбужденных состояний, поэтому равновесный заряд определяется сечением потери электрона из основного состояния. С ростом давления возбужденные ионы не успевают высветиться между соударениями и электроны из возбужденных состояний легко срываются. Это приводит к увеличению сечения потери и к росту равновесного заряда. Ясно, что эффект давления будет различным при различных скоростях иона: с увеличением скорости он возрастает. Это приведет к отклонению от линейности в зависимости равновесного заряда от скорости. С увеличением давления это отклонение должно уменьшаться, т.к. эффект давления приближается к насыщению.

При движении иона в воздухе по каким-то "внутренним" причинам значение 'x' отрицательное. Поскольку эффект давления приводит к противоположному отклонению от линейности в $e = f(v)$, суммарное значение x для воздуха должно расти (по абсолютной величине) с увеличением давления.

Полученное значение x мы использовали для оценки компоненты $(\frac{\Delta H\rho}{H\rho})_v$ в разрешении для ^{103}Ag , вылетающего из мишени толщиной 1,7 мг/см². Эта величина оказывается $\approx 2\%$ при оптимальном давлении.

4.4. Влияние степени чистоты газа на характеристики БЭМСа

В качестве наполнителя исследовалась смесь гелия и воздуха. Цель этих измерений была двоякая. Во-первых, важно знать, как влияет примесь воздуха к гелию на разрешение и значение $H\rho$. Это определит требования к вакуумной системе сепаратора. Во-вторых, варьируя смесь, можно плавно менять значения $H\rho$ для данного атома отдачи. Это позволит добиться наилучшего отделения нужного изотопа от пучка бомбардирующих частиц.

Измерения проводились с ^{103}Ag и ^{132}Xe . На рис. 8 приведено $H\rho$ в функции процентного состава смеси при фиксированном давлении 2,7 торр. При изменении смеси от чистого гелия до воздуха $H\rho$ плавно меняется. Полное изменение составляет $\approx 19\%$. Это согласуется с различием равновесных зарядов в гелии и воздухе, измеренным для осколков (с учетом эффекта давления) /1/. Следует отметить, что равновесный заряд оказывается очень чувствительным к степени чистоты Не. Примесь воздуха в 1% меняет $H\rho$ на 1%.

На рис. 9 показано разрешение для ^{103}Ag и ^{132}Xe в зависимости от состава смеси ($p = 2,7$ торр). Примесь воздуха до 10% практически не ухудшает разрешения.

4.5. Калибровка БЭМС (зависимость $H\rho$ от A и Z)

На основании теории Бора-Линдхарда можно ожидать зависимость магнитной жесткости от массового числа и порядкового номера, дава-

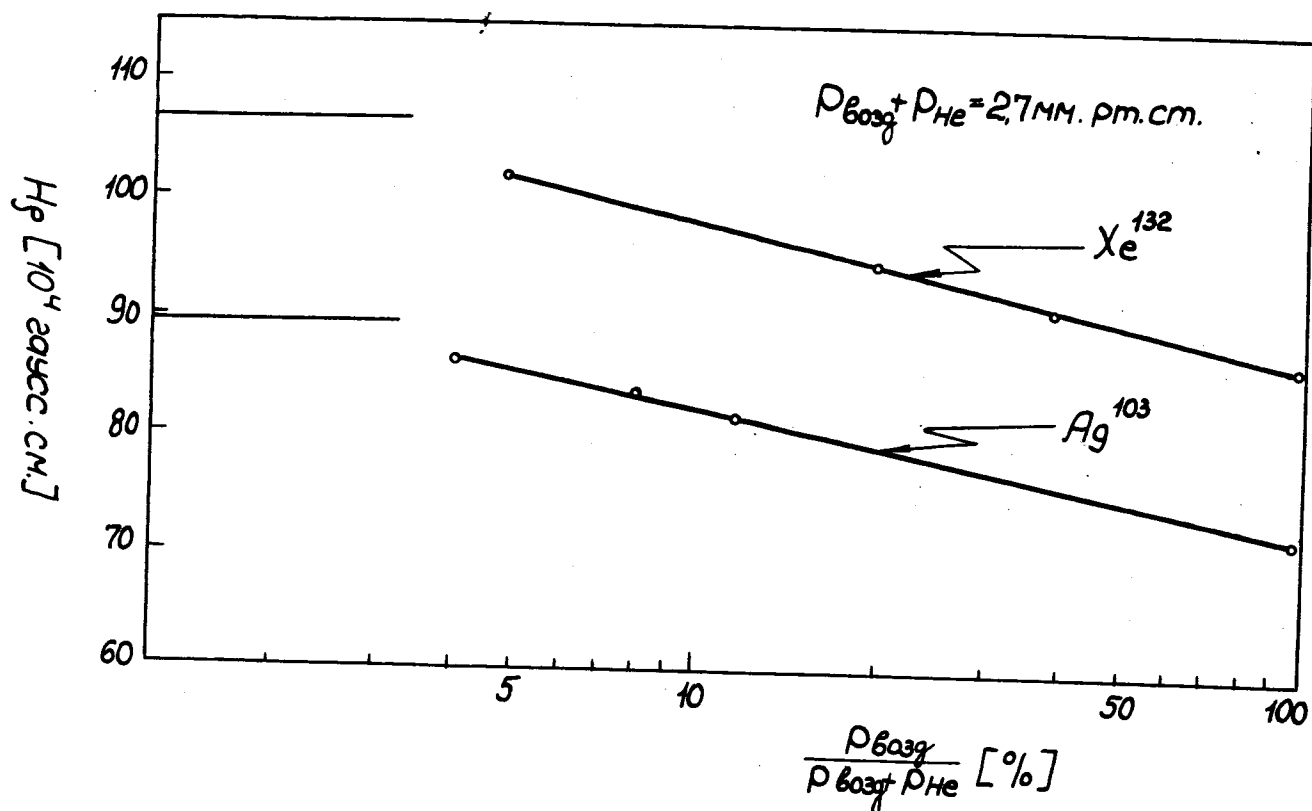


Рис.8. Зависимость H_p от процентного состава смеси He + воздух.

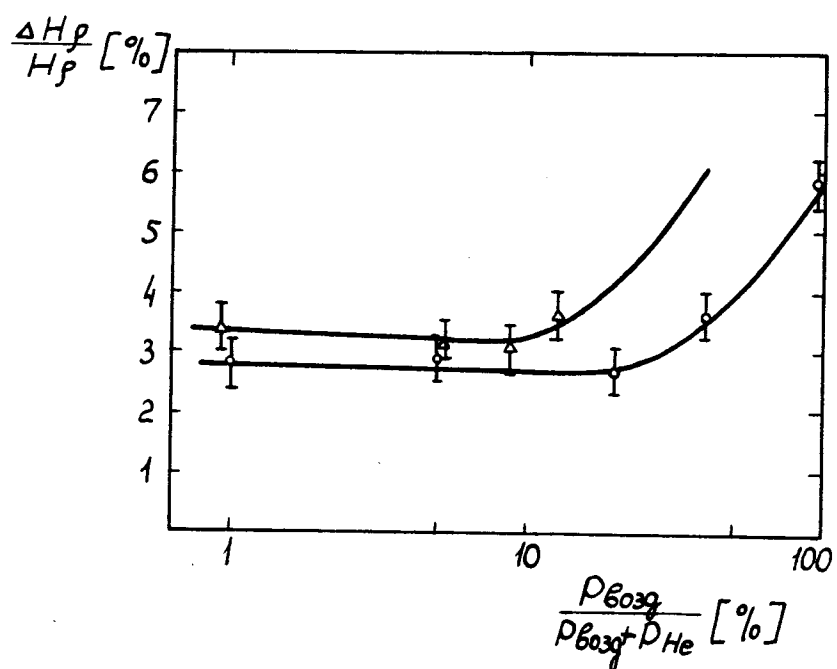


Рис.9. Разрешение БЭМС для Ag^{103} и Xe^{132} в функции процентного состава смеси He + воздух ($p = 2,7$ торр).

мую формулой (4). Фулмер и Коэн /2/ установили, что эта формула может рассматриваться только в качестве грубого приближения. Первое отклонение связано с нелинейной зависимостью равновесного заряда от скорости. Второе касается зависимости равновесного заряда от порядкового номера иона. Фулмер и Коэн получили для величины n (7) значение $\approx 0,3$, сравнивая H_p для ^{91}Sr и ^{97}Zr . При более значительном изменении Z (переход от $A=94$ к $A=133$) получено $n \approx 0,5$. Эти измерения были проведены для гелиевого заполнения. Мы провели измерения H_p для ионов в диапазоне масс от 84 до 149 для гелиевого и воздушного заполнителей. Наши результаты подтверждают вывод о неправомочности $e_0 \approx Z^{1/3}$. Однако и зависимость $e_0 \approx Z^{1/2}$ также не описывает эксперимента в широком диапазоне A .

На рис. 10 приведены экспериментальные данные относительно значений H_p для различных ионов. Во всех случаях гелиевого заполнения давление было 2,7 мм рт.ст., воздушного - 0,35 мм рт.ст. В этих измерениях мы воспользовались радиоактивными ядрами ^{90}Mo , ^{108}Ag , ^{126}Cs и ^{149}Tb , которые получались при облучении мишени из Fe , ^{68}Zn , Zr и Cd x) ионами ^{40}Ar (185 мэв). Изотоп ^{110}Sn возникал при облучении Nb ($1\text{mg}/\text{cm}^2$) пучком ^{22}Ne (≈ 120 мэв). Все изотопы, за исключением Tb , идентифицировались по энергии γ -лучей, измеряемой Ge-Li спектрометром, и периоду полураспада. Изотоп ^{149}Tb идентифицировался по α -излучению и периоду полураспада. Этот изотоп образовывался в результате К-захвата ^{149}Dy , вероятность его прямого образования в реакции мала /12/.

Для того чтобы выявить зависимость H_p от Z экспериментальные данные были отложены в координатах $\lg \frac{H_p}{A}$ и $\lg Z$. Рис. 11 относится к случаю гелиевого заполнителя при давлении 2,7 торр. Неопределенность по Z в районе экспериментальных точек связана с тем, что регистрируемые ядра могут образовываться не только прямо в реакции, но и за счет β^+ -распада изотопов с большим Z . Отметим, что в случае ^{90}Mo вклад изотопа ^{90}Ru , по-видимому, невелик. В

x) Толщины мишеней составляли 3,0; 1,7; 1,5; и $1,7\text{ mg} \cdot \text{cm}^{-2}$ соответственно.

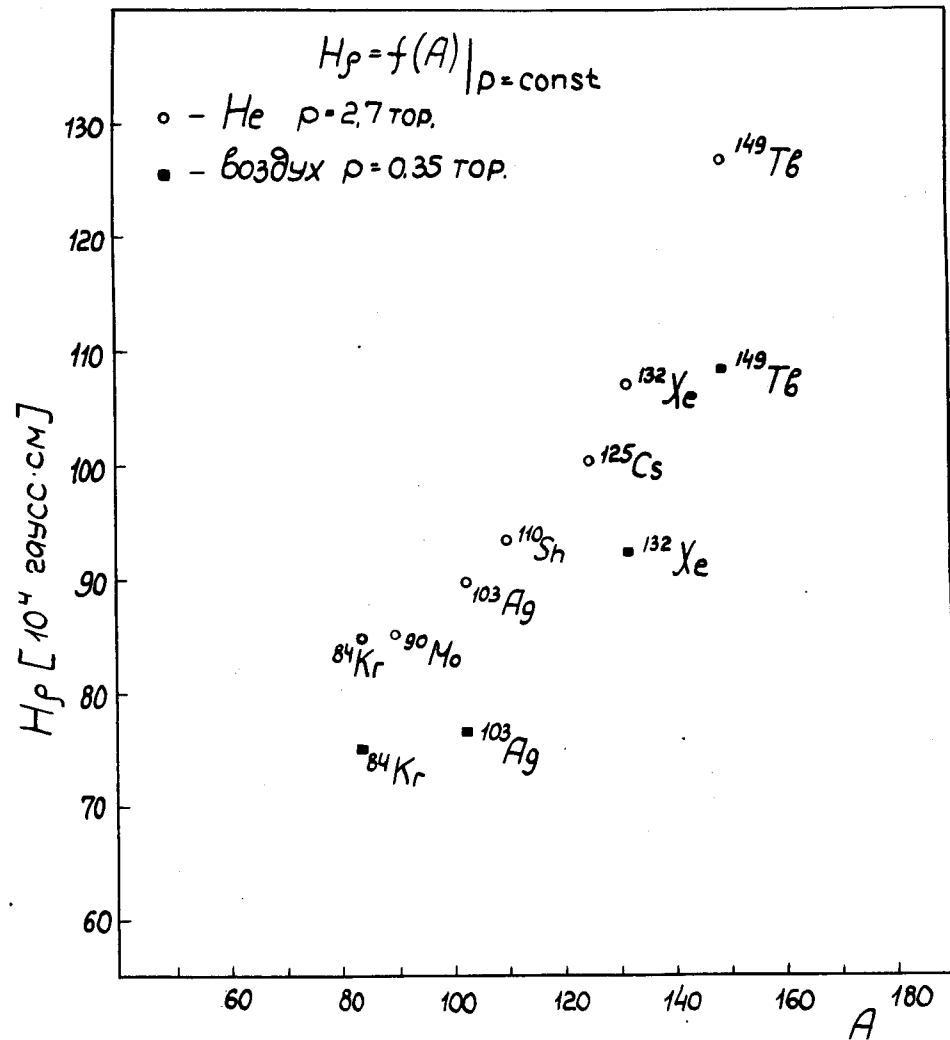


Рис.10. Калибровка БЭМС. Зависимость H_p от A для гелиевого заполнения ($p = 2.7$ торр, верхний ряд точек) и воздушного ($p = 0.35$ торр).

диапазоне от ^{84}Kr до ^{132}Xe точки лежат около прямой, отвечающей $n = 0,59$ (формула 7). Однако значение H_p для ^{149}Dy резко отходит от этой линии (\approx на 15%).

Эта аномалия повторяется и для воздушного заполнения (рис. 12). Точки для ^{84}Kr , ^{103}Ag , ^{132}Xe лежат около прямой, соответствующей $n \approx 0,6$. Значение для ^{149}Dy отходит от прямой на $\approx 16\%$.

Для исследования этой аномалии было получено еще несколько точек в области редких земель. Ионами аргона с энергией (180–190) мэв облучались мишени ^{94}Zr , ^{90}Rh , ^{84}Ag , ^{80}Sb ^{x)}. Ядра-продукты реакций регистрировались в фокальной плоскости слюдяными детекторами. После экспозиции слюда определенным образом обрабатывалась (отжиг, травление плавиковой кислотой /13/), в результате чего проявлялись только треки осколочного типа. В качестве фонового опыта алюминиевая мишень облучалась аргоном. Таким образом было установлено, что атомы отдачи, вылетающие из "рабочих" мишеней, четко отделяются от фона. Можно полагать, что в этой области ядер основной выход реакций, протекающих через составное ядро, связан с испарением только нейтронов, либо нейтронов и одного протона. Это приводит к неопределенности Z продукта равной $\pm 0,5$. Центр тяжести в распределении массового числа должен соответствовать испарению 4–5 нуклонов /14/. Точность такой оценки A не хуже ± 1 . На основании этого максимумы распределения треков при облучении указанных мишеней были отнесены соответственно к изотопам $^{129-130}\text{La-Ce}$, $^{138-139}\text{Sm-Eu}$, $^{142-144}\text{Gd-Tb}$, $^{157-159}\text{Tm-Er}$. Для проверки метода с помощью слюдяных детекторов в фокальной плоскости регистрировались продукты реакции $^{68}\text{Zn} + ^{40}\text{Ar}$. Максимум распределения треков приходится на значение H_p , отличающееся от полученного для ^{103}Ag не более, чем на 1%.

Результаты опытов со слюдяными детекторами подтверждают аномалию в области редких земель: равновесные заряды здесь меньше, чем это следует из экстраполяции данных для более легких ионов. Известно, что при переходе к редким землям начинает заполняться глубоко-лежащая 4f оболочка. Это, по-видимому, приводит к уменьшению сече-

^{x)} Толщины мишеней 1,7; 2,2; 3; 0,9 мг·см⁻² соответственно.

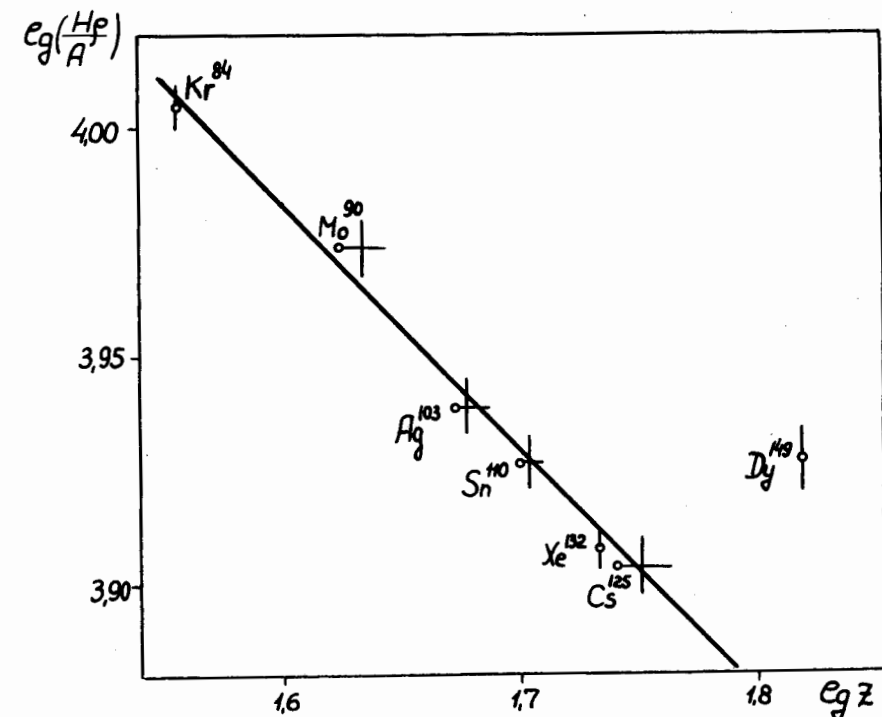


Рис.11. Зависимость H_p/A от Z , гелиевое заполнение, $p = 2,7$ торр.

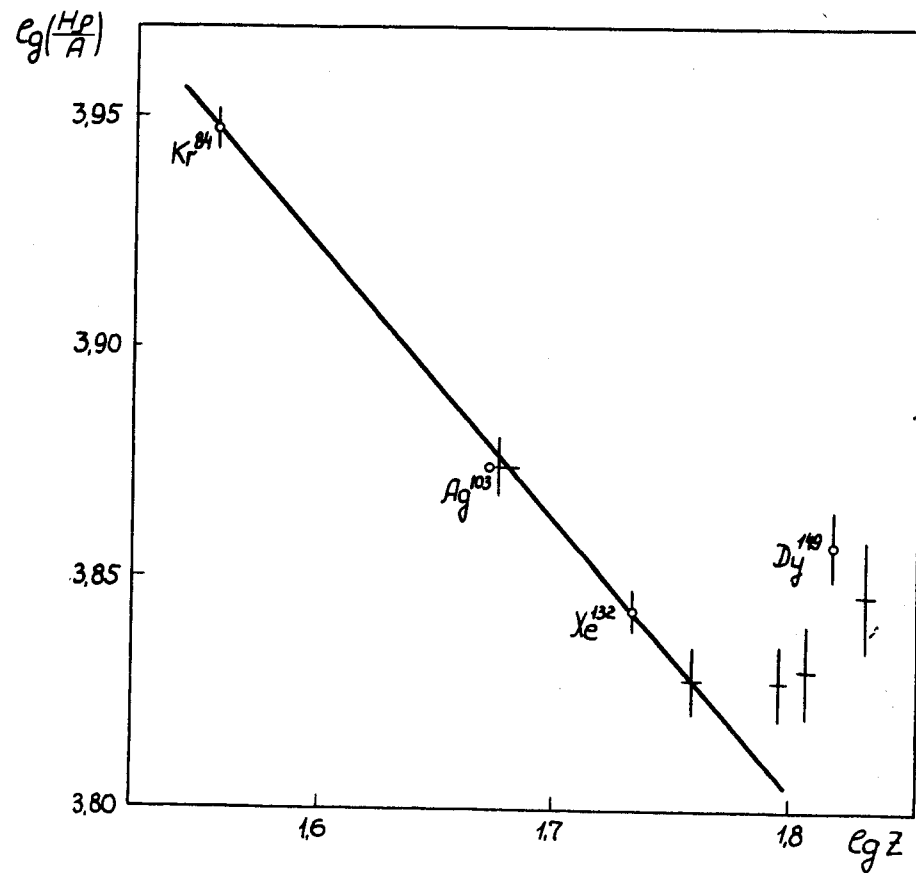


Рис.12. Зависимость N_p/A от Z , воздушное заполнение, $p = 0,35$ торр. Точки без символов получены со слюдяными детекторами ядер отдачи и относятся (в порядке возрастания Z) к $^{129-130}$ (La-Ce), $^{139-139}$ (Sm-Eu), $^{142-144}$ (Gd-Tb), $^{157-159}$ (Tm-Er).

ния потери электрона σ_e для данного значения ионного заряда. С другой стороны, равновесному заряду отвечает равенство сечений потери и захвата электрона (σ_c). Поскольку $\sigma_c \approx e_0^3$, уменьшение σ_e приводит к смещению равновесия в сторону меньших значений заряда.

Авторы благодарны академику Г.Н. Флерову за интерес к работе, а также Н. Шадиевой и В.П. Перелыгину за помощь в опытах со слюдяными детекторами.

Л и т е р а т у р а

1. C.B.Fulmer, B.L.Cohen. Phys. Rev., 109, 94 (1958).
2. B.L.Cohen, C.B.Fulmer. Nucl. Phys., 6, 547 (1958).
3. P.Armbruster. Nucleonik, 3, 188 (1961).
4. P.Armbruster, D.Hovestadt, H.Meister, H.J.Specht. Nucl. Phys., 54, 586 (1964).
5. E.Roeckl, J.Eidens and P.Armbruster. Zeit.für Phys. 220, 101(1969).
6. P.Armbruster, J.Eidens, E.Roeckl. Arkiv för Fysik, B36, N37, 293 (1967).
7. N.Steiger. Proc. of 3- Conf. on Reactions Between Compl. Nuclei, Asilomar, USA, 1963, Univers. of California Press, 1963, p. 407.
8. N.Bohr, J.Lindhard. Dan. Mat. Fys. Medd, 28, n.7 (1954).
9. В.А. Карнаухов, Л. Рубинская, Г. Тер-Акопьян, В.Титов, В.А. Чугреев. Препринт ОИЯИ Р13-4454, Дубна 1969.
10. G.Simonoff, J.M.Alexander. Phys. Rev., 133, B104 (1964). В.А. Друин, С.А. Карапян, Ю.Ц. Оганесян. Препринт ОИЯИ 1670, Дубна 1964.
11. N.O.Lassen. Dan. Mat. Fys. Medd., 26, N5(1951); 26, N12 (1951).
12. J.M.Alexander, G.Simonoff. Phys. Rev., 130, 2383 (1963).
13. A.Kapuszik, V.P.Perelygin, S.Tretiakova, N.H.Shadieva. Proc. V^{th} Intern. Conf. on Corpuscular Photography. Florence (1966). (CEPY, Roma, 1966), p.458.
14. Г. Кумпф, В.А. Карнаухов. ЖЭТФ, 46 (1969) 1545.

Рукопись поступила в издательский отдел
25 апреля 1969 года.